

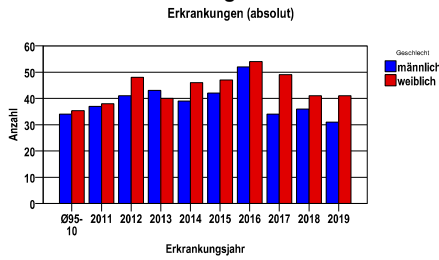
Weichteilgewebe ohne Mesotheliom C46 - C49

Durchschnittlich erfasste Erkrankungszahlen

| Zeitraum | Geschlecht | N | rohe Rate | altersstandardisierte Rate (ESR)* | arithm. Alter Jahre | medianes Alter Jahre | Vergleich medianes Alter | Vergleichsquelle |
|-------------|------------|-----|-----------|-----------------------------------|---------------------|----------------------|--------------------------|--------------------|
| 2014 - 2018 | männlich | 203 | 5,7 | 3,6 | 65,9 | 69,1 | 67,0 | RKI, BRD 2015-2016 |
| | weiblich | 237 | 6,4 | 3,5 | 67,8 | 69,9 | 68,0 | |

* europastandardisierte Rate

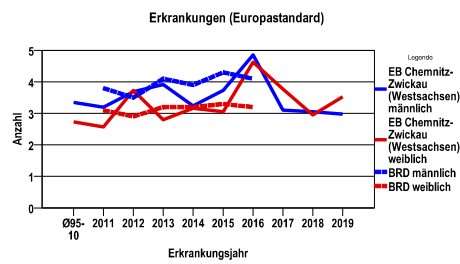
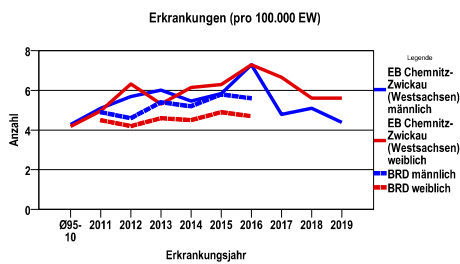
Anzahl Neuerkrankungen



Absolute Neuerkrankungen und Neuerkrankungsraten je 100.000 Einwohner

| Jahr | absolut männlich | absolut weiblich | Rohe Rate männlich | Rohe Rate weiblich | Stand. Rate männlich | Stand. Rate weiblich |
|--------|------------------|------------------|--------------------|--------------------|----------------------|----------------------|
| 2019 | 31 | 41 | 4,4 | 5,6 | 3,0 | 3,5 |
| 2018 | 36 | 41 | 5,1 | 5,6 | 3,1 | 2,9 |
| 2017 | 34 | 49 | 4,8 | 6,7 | 3,1 | 3,8 |
| 2016 | 52 | 54 | 7,3 | 7,3 | 4,9 | 4,6 |
| 2015 | 42 | 47 | 5,8 | 6,3 | 3,7 | 3,0 |
| 2014 | 39 | 46 | 5,5 | 6,1 | 3,2 | 3,2 |
| 2013 | 43 | 40 | 6,0 | 5,3 | 3,9 | 2,8 |
| 2012 | 41 | 48 | 5,7 | 6,3 | 3,7 | 3,7 |
| 2011 | 37 | 38 | 5,1 | 5,0 | 3,2 | 2,6 |
| Ø95-10 | 34 | 35 | 4,3 | 4,2 | 3,4 | 2,7 |

Stand. Rate = Europastandard



Vergleichswerte - - - ; - - -

RKI, BRD 2016, männlich 5,6

RKI, BRD 2016, weiblich 4,7

Vergleichswerte - - - ; - - -

RKI, BRD 2016, männlich 4,1

RKI, BRD 2016, weiblich 3,2

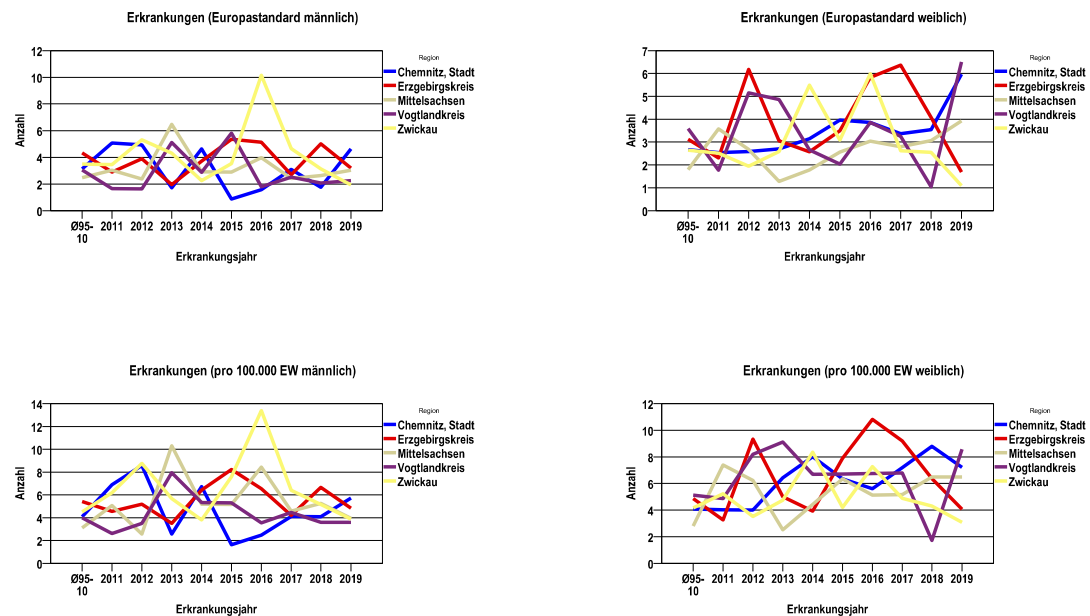
Weichteilgewebe ohne Mesotheliom C46 - C49

Zahl der Neuerkrankungen nach Stadt-/Landkreisen

| EB Chemnitz-Zwickau (Westsachsen) | absolut männlich | | | | | absolut weiblich | | | | |
|-----------------------------------|------------------|------|------|------|------|------------------|------|------|------|------|
| | 2019 | 2018 | 2017 | 2016 | 2015 | 2019 | 2018 | 2017 | 2016 | 2015 |
| Chemnitz, Stadt | 7 | 5 | 5 | 3 | 2 | 9 | 11 | 9 | 7 | 8 |
| Erzgebirgskreis | 8 | 11 | 7 | 11 | 14 | 7 | 11 | 16 | 19 | 14 |
| Mittelsachsen | 6 | 8 | 7 | 13 | 8 | 10 | 10 | 8 | 8 | 10 |
| Vogtlandkreis | 4 | 4 | 5 | 4 | 6 | 10 | 2 | 8 | 8 | 8 |
| Zwickau | 6 | 8 | 10 | 21 | 12 | 5 | 7 | 8 | 12 | 7 |

Neuerkrankungsrate nach Stadt-/Landkreisen (n/100.000 Einwohner), altersstandardisiert (ESR)

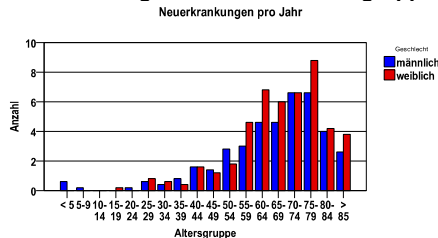
| Region | Stand. Rate männlich | | | | | Stand. Rate weiblich | | | | |
|-----------------|----------------------|------|------|------|------|----------------------|------|------|------|------|
| | 2019 | 2018 | 2017 | 2016 | 2015 | 2019 | 2018 | 2017 | 2016 | 2015 |
| Chemnitz, Stadt | 4,6 | 1,7 | 3,1 | 1,6 | ,9 | 6,0 | 3,5 | 3,4 | 3,9 | 4,0 |
| Erzgebirgskreis | 3,2 | 5,0 | 2,7 | 5,1 | 5,4 | 1,7 | 4,1 | 6,4 | 5,8 | 3,5 |
| Mittelsachsen | 3,0 | 2,6 | 2,4 | 4,0 | 2,9 | 3,9 | 3,1 | 2,8 | 3,0 | 2,6 |
| Vogtlandkreis | 2,3 | 2,1 | 2,5 | 1,8 | 5,8 | 6,5 | 1,0 | 3,3 | 3,9 | 2,0 |
| Zwickau | 1,9 | 3,1 | 4,7 | 10,1 | 3,5 | 1,1 | 2,6 | 2,6 | 6,0 | 3,1 |



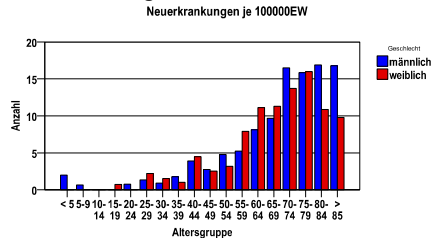
Weichteilgewebe ohne Mesotheliom C46 - C49

| |
|---------------------------------------|
| Diagnosejahre 2014 bis 2018 |
|---------------------------------------|

Neuerkrankungen/Jahr nach Altersgruppen



Neuerkrankungen/100.000 EW nach Altersgruppen



Häufigkeit der Tumorerkrankungen nach der Lokalisation (ICD-O)

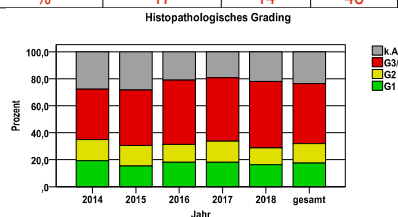
| ICD-O | Bezeichnung | m | %m | w | %w | ges. | %ges. |
|--------|--|------------|-------------|------------|-------------|------------|----------|
| C48.0 | Retroperitoneum | 20 | 9,9 | 9 | 3,8 | 29 | 6,6 |
| C48.1 | Näher bezeichnete Teile des Peritoneums | 6 | 3,0 | 56 | 23,6 | 62 | 14,1 |
| C48.2 | Peritoneum o.n.A. | 0 | . | 18 | 7,6 | 18 | 4,1 |
| C48.8 | Retroperitoneum und Peritoneum, mehrere Teilbereiche überlappend | 3 | 1,5 | 21 | 8,9 | 24 | 5,5 |
| C49.0 | Bindegewebe, Subkutangewebe und sonstige Weichteile des Kopfes, des Gesichtes und des Halses | 24 | 11,8 | 12 | 5,1 | 36 | 8,2 |
| C49.1 | Bindegewebe, Subkutangewebe und sonstige Weichteile der oberen Extremität und der Schulter | 22 | 10,8 | 18 | 7,6 | 40 | 9,1 |
| C49.2 | Bindegewebe, Subkutangewebe und sonstige Weichteile der unteren Extremität und der Hüfte | 53 | 26,1 | 55 | 23,2 | 108 | 24,5 |
| C49.3 | Bindegewebe, Subkutangewebe und sonstige Weichteile des Thorax | 15 | 7,4 | 16 | 6,8 | 31 | 7,0 |
| C49.4 | Bindegewebe, Subkutangewebe und sonstige Weichteilgewebe des Abdomen | 22 | 10,8 | 11 | 4,6 | 33 | 7,5 |
| C49.5 | Bindegewebe, Subkutangewebe und sonstige Weichteile des Beckens | 14 | 6,9 | 12 | 5,1 | 26 | 5,9 |
| C49.6 | Bindegewebe, Subkutangewebe und sonstige Weichteile des Stammes o.n.A. | 6 | 3,0 | 3 | 1,3 | 9 | 2,0 |
| C49.9 | Bindegewebe, Subkutangewebe und sonstige Weichteile o.n.A. | 5 | 2,5 | 2 | ,8 | 7 | 1,6 |
| sonst. | sonstige Lokalisationen | 13 | 6,4 | 4 | 1,7 | 17 | 3,9 |
| | Gesamt | 203 | 46,1 | 237 | 53,9 | 440 | . |

Histologische Häufigkeitsverteilung

| Bezeichnung | M-Code | N | % | % gesamt |
|--|--------|-----|-------|-------------|
| Seröses papilläres Oberflächenkarzinom | 8461/3 | 52 | 12,1% | 11,8% |
| Riesenzellsarkom | 8802/3 | 50 | 11,7% | 11,4% |
| Leiomyosarkom o.n.A. | 8890/3 | 41 | 9,6% | 9,3% |
| Seröses Zystadenokarzinom o.n.A. | 8441/3 | 28 | 6,5% | 6,4% |
| Fibromyxosarkom | 8811/3 | 26 | 6,1% | 5,9% |
| Liposarkom o.n.A. | 8850/3 | 23 | 5,4% | 5,2% |
| Myxoides Liposarkom | 8852/3 | 15 | 3,5% | 3,4% |
| Entdifferenziertes Liposarkom | 8858/3 | 14 | 3,3% | 3,2% |
| Hämangiosarkom | 9120/3 | 13 | 3,0% | 3,0% |
| Spindelzellsarkom | 8801/3 | 13 | 3,0% | 3,0% |
| Sarkom o.n.A. | 8800/3 | 13 | 3,0% | 3,0% |
| Gut differenziertes Liposarkom | 8851/3 | 12 | 2,8% | 2,7% |
| Malignes fibröses Histiocyotom | 8830/3 | 12 | 2,8% | 2,7% |
| sonstige maligne Histologien | | 117 | 27,3% | 26,6% |
| maligne Histologien gesamt | | 429 | | 97,5% |
| nicht histologisch gesichert | | 11 | | 2,5% |

Histologisches Grading (nur histologisch gesicherte Fälle)

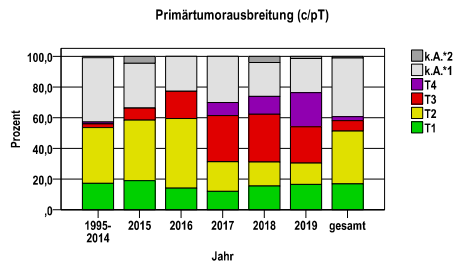
| Jahr | G1 | G2 | G3/4 | k.A. | gesamt |
|--------|----|----|------|------|--------|
| 2014 | 16 | 13 | 31 | 23 | 83 |
| 2015 | 13 | 13 | 35 | 24 | 85 |
| 2016 | 19 | 14 | 50 | 22 | 105 |
| 2017 | 15 | 13 | 39 | 16 | 83 |
| 2018 | 12 | 9 | 36 | 16 | 73 |
| gesamt | 75 | 62 | 191 | 101 | 429 |
| % | 17 | 14 | 45 | 24 | 100 |



Weichteilgewebe ohne Mesotheliom C46 - C49

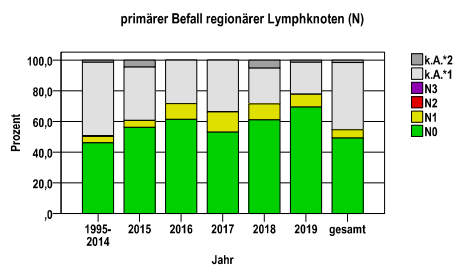
Primärtumorausbreitung (T)

| Jahr | T1 | T2 | T3 | T4 | k.A.*1 | k.A.*2 | gesamt |
|-----------|-----|-----|-----|----|--------|--------|--------|
| 1995-2014 | 250 | 524 | 35 | 16 | 605 | 12 | 1442 |
| 2015 | 17 | 35 | 7 | 0 | 26 | 4 | 89 |
| 2016 | 15 | 48 | 19 | 0 | 24 | 0 | 106 |
| 2017 | 10 | 16 | 25 | 7 | 25 | 0 | 83 |
| 2018 | 12 | 12 | 24 | 9 | 17 | 3 | 77 |
| 2019 | 12 | 10 | 17 | 16 | 16 | 1 | 72 |
| gesamt | 316 | 645 | 127 | 48 | 713 | 20 | 1869 |
| % | 17 | 35 | 7 | 3 | 38 | 1 | 100 |



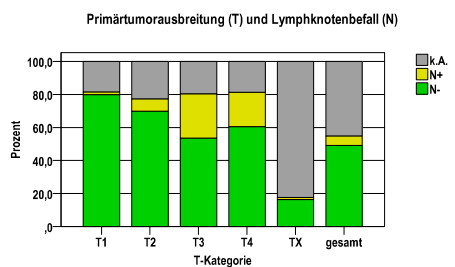
primärer Befall der regionären Lymphknoten (N)

| Jahr | N0 | N1 | N2 | N3 | k.A.*1 | k.A.*2 | gesamt |
|-----------|-----|-----|----|----|--------|--------|--------|
| 1995-2014 | 663 | 62 | 1 | 3 | 694 | 19 | 1442 |
| 2015 | 50 | 4 | 0 | 0 | 31 | 4 | 89 |
| 2016 | 65 | 11 | 0 | 0 | 30 | 0 | 106 |
| 2017 | 44 | 11 | 0 | 0 | 28 | 0 | 83 |
| 2018 | 47 | 8 | 0 | 0 | 18 | 4 | 77 |
| 2019 | 50 | 6 | 0 | 0 | 15 | 1 | 72 |
| gesamt | 919 | 102 | 1 | 3 | 816 | 28 | 1869 |
| % | 49 | 5 | 0 | 0 | 44 | 1 | 100 |



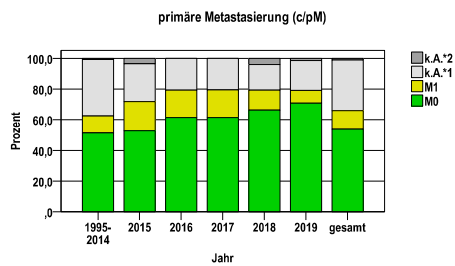
Primärtumorausbreitung (T) und Lymphknotenbefall (N)

| T-Kategorie | N- | N+ | k.A. | gesamt | N+ % |
|-------------|-----|-----|------|--------|------|
| T1 | 252 | 5 | 59 | 316 | 1,6 |
| T2 | 450 | 48 | 147 | 645 | 7,4 |
| T3 | 68 | 34 | 25 | 127 | 26,8 |
| T4 | 29 | 10 | 9 | 48 | 20,8 |
| TX | 120 | 9 | 604 | 733 | 1,2 |
| gesamt | 919 | 106 | 844 | 1869 | 5,7 |
| % | 49 | 6 | 45 | 100 | . |



primäre Metastasierung (M)

| Jahr | M0 | M1 | k.A.*1 | k.A.*2 | gesamt |
|-----------|------|-----|--------|--------|--------|
| 1995-2014 | 743 | 157 | 531 | 11 | 1442 |
| 2015 | 47 | 17 | 22 | 3 | 89 |
| 2016 | 65 | 19 | 22 | 0 | 106 |
| 2017 | 51 | 15 | 17 | 0 | 83 |
| 2018 | 51 | 10 | 13 | 3 | 77 |
| 2019 | 51 | 6 | 14 | 1 | 72 |
| gesamt | 1008 | 224 | 619 | 18 | 1869 |
| % | 54 | 12 | 33 | 1 | 100 |

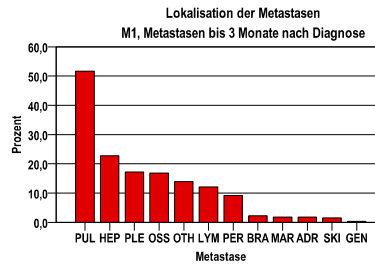


k.A.*1 = keine Angabe, Primärtumor jedoch histologisch gesichert
 k.A.*2 = keine Angabe, nur klinische Sicherung des Tumors

Weichteilgewebe ohne Mesotheliom C46 - C49

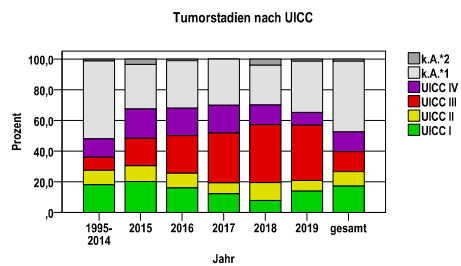
primäre Metastasen

| Metastase | Anzahl | Prozent | Gesamt N |
|-----------|--------|---------|----------|
| PUL | 141 | 51,6 | 273 |
| HEP | 62 | 22,7 | . |
| PLE | 47 | 17,2 | . |
| OSS | 46 | 16,8 | . |
| OTH | 38 | 13,9 | . |
| LYM | 33 | 12,1 | . |
| PER | 25 | 9,2 | . |
| BRA | 6 | 2,2 | . |
| MAR | 5 | 1,8 | . |
| ADR | 5 | 1,8 | . |
| SKI | 4 | 1,5 | . |
| GEN | 1 | ,4 | . |



Tumorstadien nach UICC

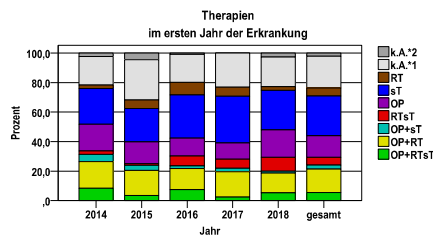
| Jahr | UICC I | UICC II | UICC III | UICC IV | k.A. *1 | k.A. *2 | gesamt | UICC IV % |
|-----------|--------|---------|----------|---------|---------|---------|--------|-----------|
| 1995-2014 | 259 | 137 | 122 | 174 | 733 | 17 | 1442 | 12,1 |
| 2015 | 18 | 9 | 16 | 17 | 26 | 3 | 89 | 19,1 |
| 2016 | 17 | 10 | 26 | 19 | 33 | 1 | 106 | 17,9 |
| 2017 | 10 | 6 | 27 | 15 | 25 | 0 | 83 | 18,1 |
| 2018 | 6 | 9 | 29 | 10 | 20 | 3 | 77 | 13,0 |
| 2019 | 10 | 5 | 26 | 6 | 24 | 1 | 72 | 8,3 |
| gesamt | 320 | 176 | 246 | 241 | 861 | 25 | 1869 | 12,9 |
| % | 17 | 9 | 13 | 13 | 46 | 1 | 100 | . |



Weichteilgewebe ohne Mesotheliom C46 - C49

Therapien im ersten Jahr nach Diagnosenstellung*

| Jahr | OP+RTsT | OP+RT | OP+sT | RTsT | OP | sT | RT | k.A.*1 | k.A.*2 | gesamt | OP % |
|--------|---------|-------|-------|------|----|-----|----|--------|--------|--------|------|
| 2014 | 7 | 15 | 4 | 2 | 15 | 20 | 2 | 16 | 2 | 83 | 18,1 |
| 2015 | 3 | 15 | 3 | 1 | 13 | 20 | 5 | 24 | 4 | 88 | 14,8 |
| 2016 | 8 | 15 | 2 | 7 | 13 | 31 | 9 | 20 | 1 | 106 | 12,3 |
| 2017 | 2 | 14 | 2 | 5 | 9 | 26 | 5 | 19 | 0 | 82 | 11,0 |
| 2018 | 4 | 10 | 1 | 7 | 14 | 20 | 2 | 15 | 2 | 75 | 18,7 |
| gesamt | 24 | 69 | 12 | 22 | 64 | 117 | 23 | 94 | 9 | 434 | 14,7 |
| % | 6 | 16 | 3 | 5 | 15 | 27 | 5 | 22 | 2 | 100 | . |



sT = systemische Therapie
RT = Strahlentherapie
OP = Operation

k.A.*1 = keine tumorspezifische Therapie, jedoch histologisch gesichert
k.A.*2 = keine tumorspezifische Therapie, nur klinische Sicherung des Tumors

| Diagnosejahre |
|---------------|
| 2014 bis 2018 |

Operationen im ersten Jahr nach Diagnosenstellung*

| OPS | Anzahl | % | OPS-Schlüssel Version 2015 |
|--------|--------|------|---|
| 5-852 | 77 | 45,6 | Exzision an Muskel, Sehne und Faszie |
| 5-895 | 76 | 45,0 | Radikale und ausgedehnte Exzision von erkranktem Gewebe an Haut und Unterhaut |
| 5-894 | 42 | 24,9 | Lokale Exzision von erkranktem Gewebe an Haut und Unterhaut |
| gesamt | 169 | . | |

gesamt = Anzahl der operierten Fälle (entspricht der OP-Anzahl der vorhergehende Tabelle); Mehrfachnennungen bei den OPS-Nummern sind pro Fall möglich; Prozentzahl bezieht sich auf den Anteil an den operierten Gesamtfällen

Systemische Therapien im ersten Jahr nach Diagnosenstellung*

| Beschreibung | Typ | Anzahl | % |
|--|-----|--------|------|
| Carboplatin, Paclitaxel | C | 63 | 36,0 |
| Doxorubicin, Ifosfamid | C | 30 | 17,1 |
| Doxorubicin | C | 14 | 8,0 |
| Dacarbazin, Doxorubicin | C | 13 | 7,4 |
| Medikament o. n. A. | C | 13 | 7,4 |
| Epirubicin, Ifosfamid | C | 11 | 6,3 |
| Ifosfamid | C | 9 | 5,1 |
| Paclitaxel | C | 8 | 4,6 |
| Bleomycin, Cisplatin, Etoposid | C | 6 | 3,4 |
| Carboplatin | C | 6 | 3,4 |
| Trofosfamid | C | 6 | 3,4 |
| Docetaxel, Gemcitabin | C | 6 | 3,4 |
| Carboplatin, Gemcitabin | C | 5 | 2,9 |
| Trabectedin | C | 5 | 2,9 |
| Doxorubicin, Etoposid, Ifosfamid, Vincristin | C | 4 | 2,3 |
| Cisplatin, Etoposid, Ifosfamid | C | 3 | 1,7 |
| Gemcitabin | C | 3 | 1,7 |
| Cisplatin, Etoposid | C | 3 | 1,7 |
| Carboplatin, Etoposid, Ifosfamid | C | 3 | 1,7 |
| Carboplatin, Etoposid | C | 2 | 1,1 |
| Treosulfan | C | 2 | 1,1 |
| Dactinomycin, Doxorubicin, Ifosfamid, Vincristin | C | 2 | 1,1 |
| Bevacizumab | I | 58 | 33,1 |
| Olaratumab | I | 6 | 3,4 |
| Pazopanib | I | 2 | 1,1 |
| gesamt Anzahl der Fälle | | 175 | . |

Protokolltyp:
CM – Monochemoth.
CP – Polychemoth.
C – Chemotherapie o.n.A.
IC – Immun-/Chemoth.
H – Hormontherapie
I – Immuntherapie
IU – unspezif. Immunth.
IS – spezif. Immunth.

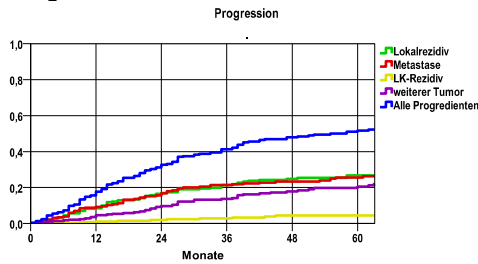
gesamt = Anzahl der therapierten Fälle; Mehrfachnennungen von Therapien sind pro Fall möglich; Prozentzahl bezieht sich auf den Anteil an den systemisch therapierten Gesamtfällen

*Bei Eintritt eines Rezidivs werden weitere Therapien nicht ausgewiesen.
Systemische Therapien mit einem Anteil unter 1% werden nicht aufgeführt.

Weichteilgewebe ohne Mesotheliom C46 - C49

| Diagnosejahre |
|---------------|
| 2009 bis 2014 |

Progression



mediane ereignisfreie Zeit

| | |
|--------------------|------------|
| Lokalrezidiv | >5,0 Jahre |
| Metastase | >5,0 Jahre |
| LK-Rezidiv | >5,0 Jahre |
| weiterer Tumor | >5,0 Jahre |
| Alle Progredienten | 4,8 Jahre |

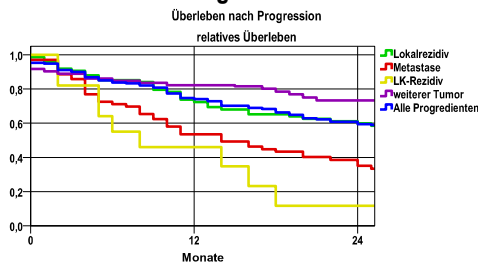
Progression setzt Vollremission voraus.

| Ereignis | Monate | % | 95%CI | N | zens. +† % | zens. % | E |
|--------------------|--------|------|-----------|-----|------------|---------|-----|
| Lokalrezidiv | 12 | 8,5 | 5,2-11,8 | 293 | 7,2 | 1,0 | 24 |
| | 24 | 17,0 | 12,5-21,5 | | 16,4 | 2,7 | 46 |
| | 36 | 21,4 | 16,3-26,4 | | 24,2 | 7,8 | 56 |
| | 48 | 24,8 | 19,4-30,3 | | 33,8 | 13,3 | 63 |
| | 60 | 26,7 | 21,0-32,4 | | 41,3 | 19,5 | 66 |
| Metastase | 12 | 9,2 | 5,8-12,5 | 293 | 5,5 | 1,0 | 26 |
| | 24 | 16,8 | 12,3-21,2 | | 14,0 | 3,1 | 46 |
| | 36 | 21,4 | 16,4-26,3 | | 22,9 | 9,2 | 57 |
| | 48 | 23,3 | 18,1-28,5 | | 30,0 | 14,7 | 61 |
| | 60 | 25,6 | 20,1-31,1 | | 38,6 | 21,5 | 65 |
| LK-Rezidiv | 12 | 1,1 | -,1- 2,3 | 293 | 8,5 | 1,0 | 3 |
| | 24 | 1,9 | ,2- 3,5 | | 21,5 | 3,1 | 5 |
| | 36 | 2,8 | ,7- 4,8 | | 32,1 | 9,2 | 7 |
| | 48 | 4,4 | 1,7- 7,1 | | 41,6 | 14,7 | 10 |
| | 60 | 4,4 | . - . | | 53,6 | 22,2 | 10 |
| weiterer Tumor | 12 | 4,7 | 2,2- 7,1 | 293 | 8,5 | 1,0 | 13 |
| | 24 | 9,6 | 6,0-13,2 | | 20,8 | 3,1 | 25 |
| | 36 | 13,7 | 9,4-18,0 | | 30,0 | 8,5 | 34 |
| | 48 | 17,9 | 12,9-22,9 | | 38,2 | 12,6 | 42 |
| | 60 | 20,5 | 15,0-25,9 | | 49,1 | 19,5 | 46 |
| Alle Progredienten | 12 | 17,7 | 13,2-22,2 | 293 | 5,1 | 1,0 | 50 |
| | 24 | 32,7 | 27,1-38,3 | | 10,9 | 2,7 | 90 |
| | 36 | 41,2 | 35,3-47,2 | | 16,0 | 7,2 | 111 |
| | 48 | 48,0 | 41,8-54,1 | | 20,8 | 11,3 | 126 |
| | 60 | 51,7 | 45,4-58,0 | | 27,0 | 17,1 | 133 |

N = Anzahl der Fälle mit Vollremission

E = Anzahl der Ereignisse

Überleben nach Progression



| Ereignis | beob. Überl. | rel. Überl. | 95%-KI ± | N | zens. % |
|--------------------|--------------|-------------|----------|-----|---------|
| Lokalrezidiv | 57,3 | 59,8 | 11,8 | 72 | 6,9 |
| Metastase | 33,4 | 35,0 | 11,5 | 68 | 7,4 |
| LK-Rezidiv | 11,4 | 11,7 | 20,6 | 11 | 9,1 |
| weiterer Tumor | 69,0 | 73,3 | 12,0 | 61 | 11,5 |
| Alle Progredienten | 56,2 | 59,5 | 8,2 | 152 | 8,6 |

medianes Überleben nach Progression

| | |
|--------------------|------------|
| Lokalrezidiv | >2,0 Jahre |
| Metastase | 1,1 Jahre |
| LK-Rezidiv | ,6 Jahre |
| weiterer Tumor | >2,0 Jahre |
| Alle Progredienten | >2,0 Jahre |

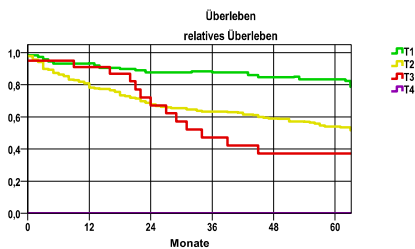
Weichteilgewebe ohne Mesotheliom C46 - C49

| Diagnosejahre |
|---------------|
| 2009 bis 2014 |

5-Jahres-Überleben nach Primärtumorausbreitung

| T-Kategorie | beob. Überl. | rel. Überl. | 95%-KI ± | N | zens. % |
|-------------|--------------|-------------|----------|-----|---------|
| T1 | 70,0 | 83,3 | 11,6 | 60 | 33,3 |
| T2 | 46,7 | 54,0 | 7,4 | 175 | 16,6 |
| T3 | 35,0 | 37,2 | . | 20 | 15,0 |
| T4 | ,0 | ,0 | . | 0 | . |

nur Ersterkrankungen



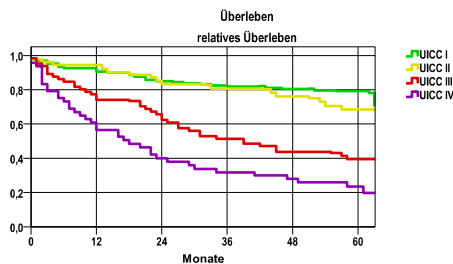
mediane Überlebenszeit

T1 >5,0 Jahre
 T2 >5,0 Jahre
 T3 2,7 Jahre
 T4

5-Jahres-Überleben nach UICC-Tumorstadium

| UICC-Stadium | beob. Überl. | rel. Überl. | 95%-KI ± | N | zens. % |
|--------------|--------------|-------------|----------|----|---------|
| UICC I | 68,1 | 79,2 | 9,6 | 91 | 31,9 |
| UICC II | 58,5 | 68,5 | 14,3 | 46 | 15,2 |
| UICC III | 34,3 | 39,5 | 11,9 | 61 | 4,9 |
| UICC IV | 20,8 | 23,5 | 11,8 | 47 | 8,5 |

nur Ersterkrankungen



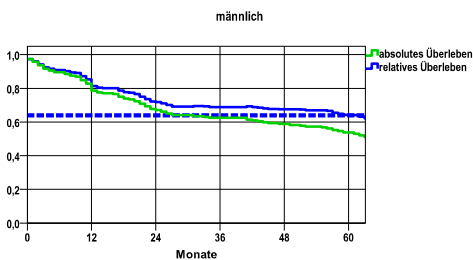
mediane Überlebenszeit

UICC I >5,0 Jahre
 UICC II >5,0 Jahre
 UICC III 3,1 Jahre
 UICC IV 1,4 Jahre

Überleben gesamt, männlich

| Jahr | beob. Überl. | rel. Überl. | 95%-KI ± | N | zens. % |
|------|--------------|-------------|----------|-----|---------|
| 1 | 78,6 | 81,3 | 5,8 | 192 | ,0 |
| 2 | 67,2 | 71,8 | 6,6 | . | ,0 |
| 3 | 62,5 | 68,9 | 6,8 | . | ,0 |
| 4 | 58,9 | 67,6 | 7,0 | . | ,0 |
| 5 | 53,8 | 64,3 | 7,1 | . | 21,9 |

nur Ersterkrankungen



mediane Überlebenszeit

>5,0 Jahre

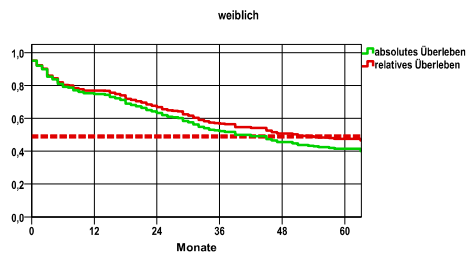
Vergleichswert - - - , 5-Jahres-Überleben (%)

RKI, BRD 2013-2014, mittlerer Wert, männlich 64,0

weiblich

| Jahr | beob. Überl. | rel. Überl. | 95%-KI ± | N | zens. % |
|------|--------------|-------------|----------|-----|---------|
| 1 | 74,8 | 76,9 | 5,7 | 226 | ,0 |
| 2 | 63,3 | 66,8 | 6,3 | . | ,0 |
| 3 | 52,2 | 56,7 | 6,5 | . | ,0 |
| 4 | 45,6 | 50,8 | 6,5 | . | ,0 |
| 5 | 41,5 | 47,5 | 6,4 | . | 15,0 |

nur Ersterkrankungen



mediane Überlebenszeit

4,2 Jahre

Vergleichswert - - - , 5-Jahres-Überleben (%)

RKI, BRD 2013-2014, mittlerer Wert, weiblich 49,0

| verwendete Sterbetafel: |
|-------------------------|
| Sachsen 1995-2018 |

Vorlage vom: 27.06.2018

Programmversion vom: 11.05.2016

©SWSTUZ-GTDS-SPSS-Auswertungssystem

Datenstand vom:

11.05.2020